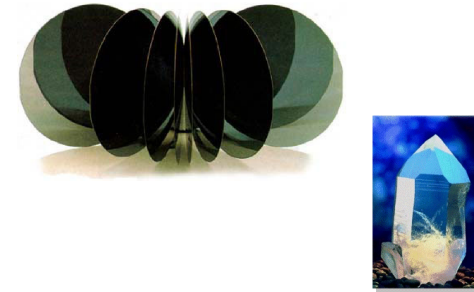


Kristallstruktuur

Pooljuhtmaterjalid

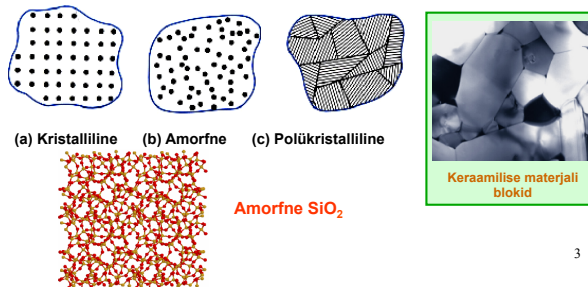
Pooljuhid kui kristallid



Pooljuhid kui kristallid

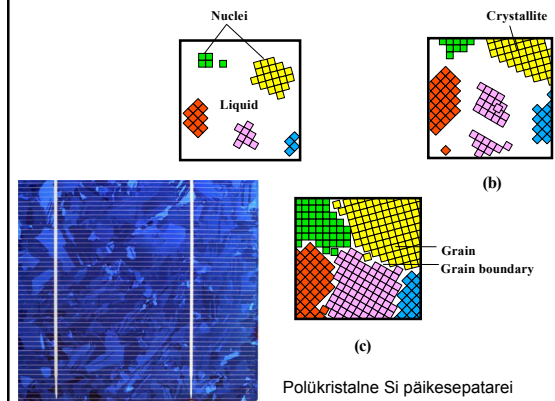
❑ Kristallid: aatomid on korrastatud ning kordavad oma korrastatust perioodiliselt 3 dimensioonis.

❑ 3 tüüpi tahkeid aineid:



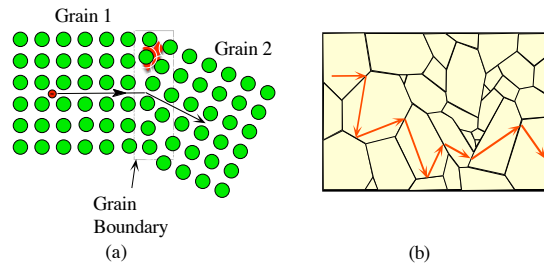
Pooljuhid kui kristallid

❑ Polükristallide moodustumine



Pooljuhid kui kristallid

Polükristallid

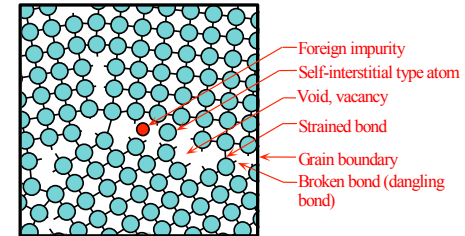


Polükristallides mängivad blokkide piirid ülitähtsat osa ja mõjutavad otseselt elektronide liikumist

5

Pooljuhid kui kristallid

Defektid polükristallides - piirpinnad kui olulised defektide esinemiskohad



6

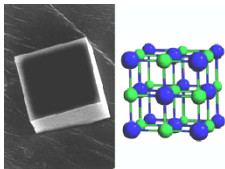
Kristallide näited



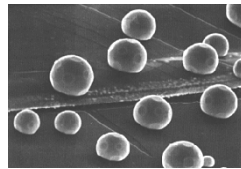
Lumi

Kvarts

CuO



Soola (NaCl) kristall

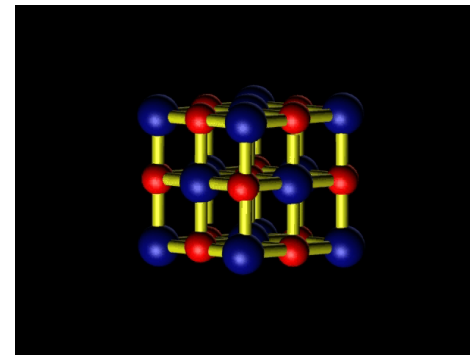


Kulla (Au) kristallid 1000 C

7

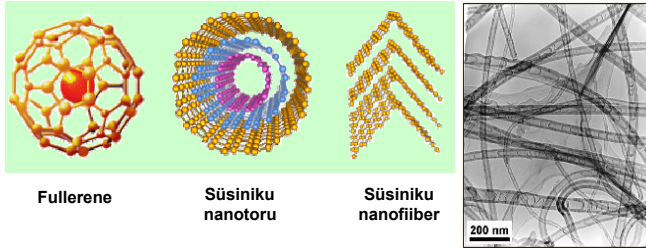
Kristallide näited

Keedusoola (NaCl) kristall



8

Kristallide näited



Fullerene

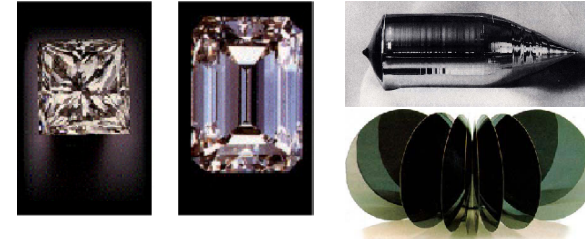
Süsiniku nanotoru

Süsiniku nanofiiber

TEM foto süsiniku nanotorudest

9

Kristallide näited



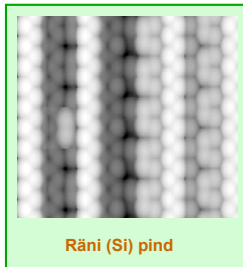
Teemandi monokristallid.

Räni monokristallid.

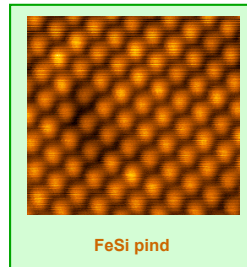
10

Aatomlahutusega mikroskoobi pildid kristallide pinnast

□ STM (Scanning Tunneling Microscope) pildid



Räni (Si) pind

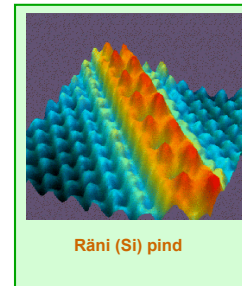


FeSi pind

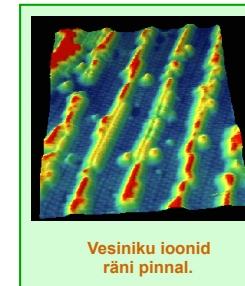
11

Aatomlahutusega mikroskoobi pildid kristallide pinnast

□ 3D-STM (Scanning Tunneling Microscope) pildid



Räni (Si) pind

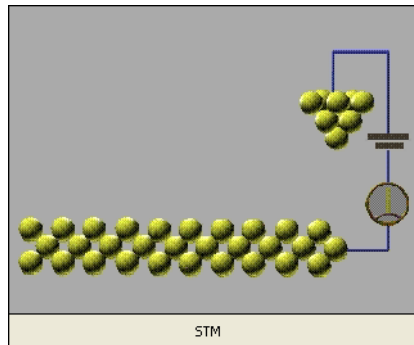


Vesiniku ioonid räni pinnal.

12

Aatomlahutusega mikroskoobi pildid kristallide pinnast

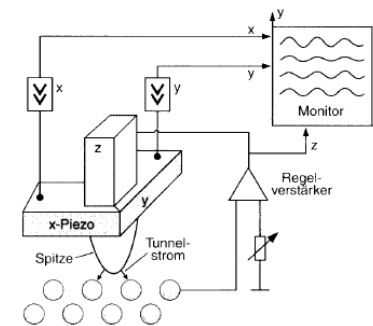
□ Scanning Tunneling Microscope



13

STM tööpõhimõte

□ Scanning Tunneling Microscope



14

Aatomlahutusega mikroskoobi pildid kristallide pinnast

□ Scanning Tunneling Microscope



- Digital Instrument (Nano Scope Multimode)
- Contact mode Atomic Force Microscopy (AFM)
 - Non Contact AFM
 - Tapping mode AFM
 - Magnetic Force Microscopy (MFM)
 - Electric Force Microscopy (EFM)
 - Surface Potential Microscopy (SPM)
 - Lateral Force Microscopy (LFM)
 - Scanning Tunneling Microscopy (STM)
 - Chemical Force Microscopy (CFM)

15

Aatomlahutusega mikroskoobi pildid kristallide pinnast

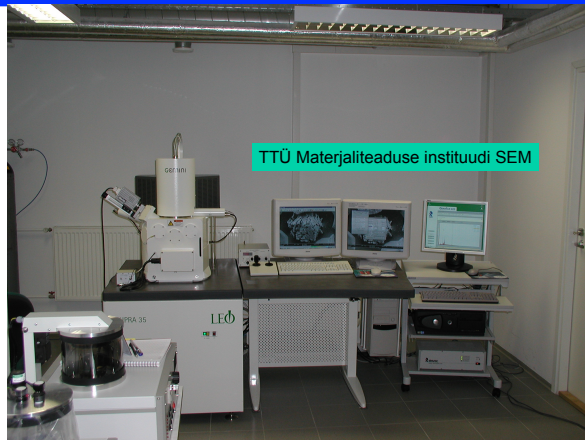
□ TEM (Tunneling Electron Microscope) pildid



TEM pilt blokkide piirist kulla pinnal.

16

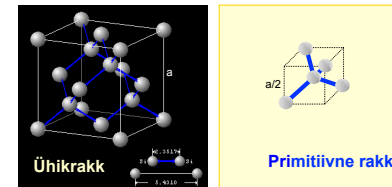
SEM (Scanning Electron Microscope)



17

Kristallstruktuurid

- Aatomite perioodilist paiknemist nimetatakse **kristallvõreks**.
- **Ühikrakk:**
On kogu võre elementaarseim esindaja, mille perioodilisel kordumisel saadakse kogu võre.
- **Primitiivne rakk:**
Väikseim ühikrakk.



18

Kristallstruktuurid

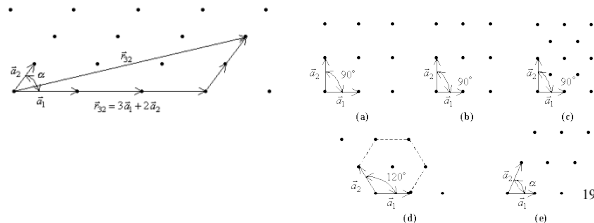
- **Koordinaadid:**

❖ **x, y, z** antakse kui ühikraku tahud.

$$\vec{r}_{xyz} = x\vec{a} + y\vec{b} + z\vec{c}$$

Näide:

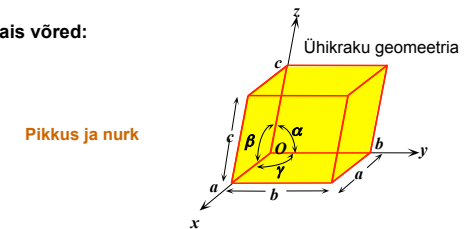
a, b, c – ühikvektorid koordinaattelgedes sihis.



19

Kristallvõrede tüübid

- **Bravais võred:**



Trikliinne	$a \neq b \neq c$	$\alpha \neq \beta \neq \gamma \neq 90^\circ$	K_2CrO_7
Monokliinne	$a \neq b \neq c$	$\alpha = \gamma = 90^\circ \neq \beta$	$\beta\text{-S}, CaSO_4 \cdot 2H_2O$
Ortorombiline	$a \neq b \neq c$	$\alpha = \beta = \gamma = 90^\circ$	$\alpha\text{-S}, Ga, Fe_3C$
Tetragonaalne	$a = b \neq c$	$\alpha = \beta = \gamma = 90^\circ$	$\beta\text{-Sn}, TiO_2$
Kuubiiline	$a = b = c$	$\alpha = \beta = \gamma = 90^\circ$	$Cu, Ag, Zn, NaCl$
Heksagonaalne	$a_1 = a_2 = a_3 \neq c$	$\alpha = \beta = 90^\circ, \gamma = 120^\circ$	Zn, Cd
Rombiline	$a = b = c$	$\alpha = \beta = \gamma \neq 90^\circ$	As, Sb, Bi

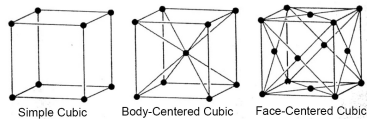
Kristallstruktuurid

Kristallsüsteemides võib elementaarne rakk omada erinevaid variatsioone.

Bravais näitas, et kõik ruumvõred on kirjeldatavad 14 standardse elementaarrakuga.

Nende hulgas on nelja põhisüsteemi elementaar-rakke:

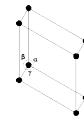
1. lihtsad elementaarrakud
2. ruumsentreeritud elementaarrakud
3. tahktsentreeritud elementaarrakud
4. alustsentreeritud elementaarrakud



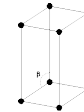
21

Kristallvõrede tüübid: Grupp (I)

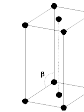
Triclinic
 $a \neq b \neq c, \alpha \neq \beta \neq \gamma \neq 90^\circ$



Monoclinic
 $a \neq b \neq c, \alpha = \gamma = 90^\circ \neq \beta \neq 90^\circ$



Monoclinic
 $a \neq b \neq c, \alpha = \gamma = 90^\circ \neq \beta \neq 90^\circ$



Orthorhombic
 $a \neq b \neq c, \alpha = \beta = \gamma = 90^\circ$



Orthorhombic
 $a \neq b \neq c, \alpha = \beta = \gamma = 90^\circ$



Orthorhombic
 $a \neq b \neq c, \alpha = \beta = \gamma = 90^\circ$



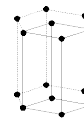
22

Kristallvõrede tüübid: Grupp (II)

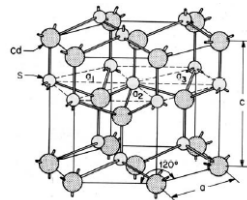
Orthorhombic
 $a \neq b \neq c, \alpha = \beta = \gamma = 90^\circ$



Hexagonal
 $a_1 = a_2 = a_3 \neq c, \alpha = \beta = 90^\circ \neq \gamma = 120^\circ$



Rhombohedral
 $a = b = c, \alpha = \beta = \gamma \neq 90^\circ$

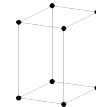


CdS võre

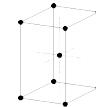
23

Kristallvõrede tüübid: Grupp (III)

Tetragonal
 $a = b \neq c, \alpha = \beta = \gamma = 90^\circ$



Tetragonal
 $a = b \neq c, \alpha = \beta = \gamma = 90^\circ$



Cubic
 $a = b = c, \alpha = \beta = \gamma = 90^\circ$



Cubic
 $a = b = c, \alpha = \beta = \gamma = 90^\circ$



Cubic
 $a = b = c, \alpha = \beta = \gamma = 90^\circ$



24

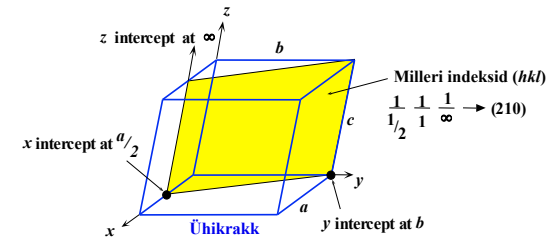
Milleri tähistused

Tähistus	Tähendus
(hkl)	Kristalli tasand
{hkl}	Ekvivalentsed tasandid
[hkl]	Kristalli suund
<hkl>	Ekvivalentsed suunad

25

Kristalli tasand

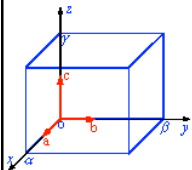
□ Kristalli tasandi identifitseerimine:



26

Kristalli tasandid

□ Milleri indeksite leidmine:



Step 1: Identify the intercepts on the x-, y- and z- axes.
 Intercept on the x-, y-, and z-axis is at $x = \alpha$, $y = \beta$, and $z = \gamma$, respectively. If the surface is parallel to an axis, there would be no intercept on the axis. We shall consider the intercept to be at infinity (∞) for the special case where the plane is parallel to an axis.
 Intercepts : α, β, γ

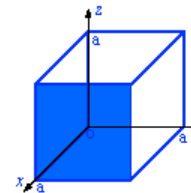
Step 2: Specify the intercepts in fractional co-ordinates.
 Coordinates are converted to fractional coordinates by dividing by the respective cell dimension. For example, a point (x, y, z) in a unit cell of dimensions $a \times b \times c$ has fractional coordinates of $(x/a, y/b, z/c)$. In the case of a cubic unit cell each co-ordinate will simply be divided by the cubic cell constant, a .
 Fractional Intercepts : $\alpha/a, \beta/b, \gamma/c$

Step 3: Take the reciprocals of the fractional intercepts.
 This final manipulation generates the Miller Indices which (by convention) should then be specified without being separated by any commas or other symbols. The Miller Indices are also enclosed within standard brackets (...) when one is specifying a unique surface such as that being considered here.
 The reciprocals of 1 and ∞ are 1 and 0, respectively.
 Miller Indices : (hkl)

27

Milleri indeksite leidmine

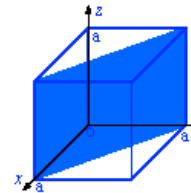
□ Näited:



Step 1: Identify the intercepts on the x-, y- and z- axes.
 Intercepts : a, ∞, ∞

Step 2: Specify the intercepts in fractional co-ordinates.
 Fractional Intercepts : $a/a, \infty/a, \infty/a$ i.e. $1, \infty, \infty$

Step 3: Take the reciprocals of the fractional intercepts.
 Miller Indices : (100)



Step 1: Identify the intercepts on the x-, y- and z- axes.
 Intercepts : a, a, ∞

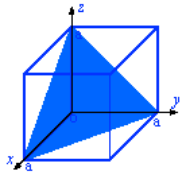
Step 2: Specify the intercepts in fractional co-ordinates.
 Fractional Intercepts : $a/a, a/a, \infty/a$ i.e. $1, 1, \infty$

Step 3: Take the reciprocals of the fractional intercepts.
 Miller Indices : (110)

28

Milleri indeksite leidmine

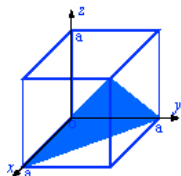
□ Näited:



Step 1 : Identify the intercepts on the x-, y- and z- axes.
Intercepts : a, a, a

Step 2 : Specify the intercepts in fractional co-ordinates.
Fractional Intercepts : a/a, a/a, a/a i.e. 1, 1, 1

Step 3 : Take the reciprocals of the fractional intercepts.
Miller Indices : (111)



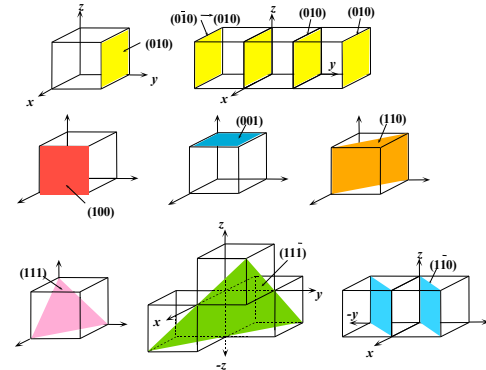
Step 1 : Identify the intercepts on the x-, y- and z- axes.
Intercepts : a, a, -a

Step 2 : Specify the intercepts in fractional co-ordinates.
Fractional Intercepts : a/a, a/a, -a/a i.e. 1, 1, -1

Step 3 : Take the reciprocals of the fractional intercepts.
Miller Indices : (11 $\bar{1}$)

29

Kristallitasandid kuubilises võres



30

Kristallitasandid

□ Tasandite vaheline kaugus (XRD-s just neid leitaksegi)

❖ Kuubiline :
$$d = \frac{a^2}{\sqrt{h^2 + k^2 + l^2}}$$

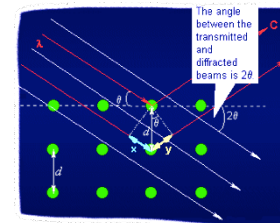
❖ Tetragonaalne :
$$\frac{1}{d^2} = \frac{h^2 + k^2}{a^2} + \frac{l^2}{c^2}$$

❖ Heksagonaalne :
$$\frac{1}{d^2} = \frac{4}{3} \left(\frac{h^2 + hk + k^2}{a^2} \right) + \frac{l^2}{c^2}$$

31

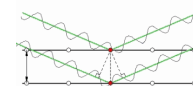
Kristallitasandid

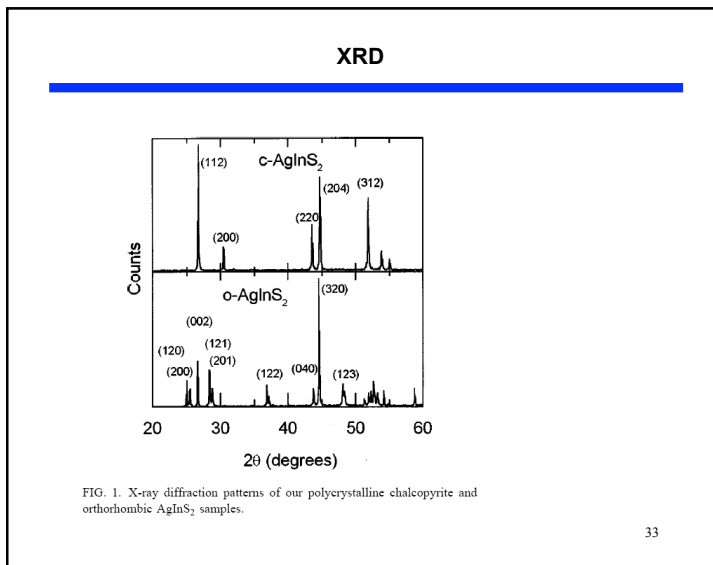
□ X-Ray difraktsioon



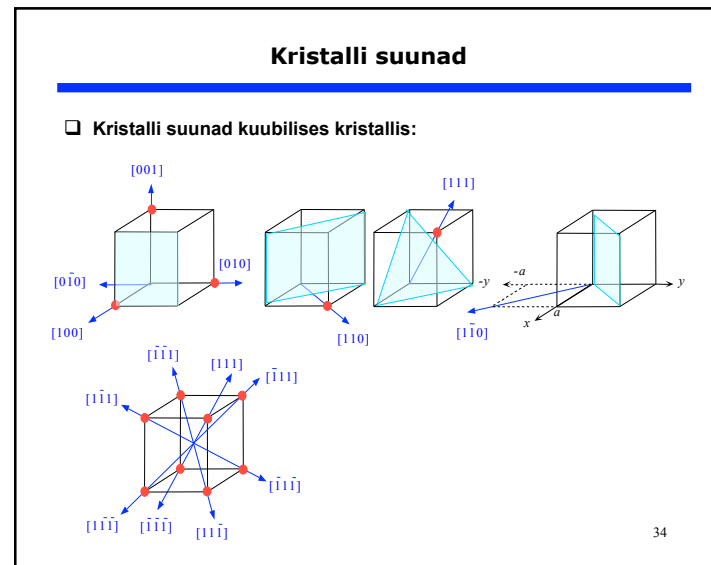
- > Iga tasandite koostus omab kindlat tasanditevahelist kaugust, mis röntgenikiirte difraktsioonis annab kindla piigi.
- > Braggi valem seob röntgenikiirguse lainepikkuse, tasanditevahelise kauguse ja difraktsiooninurga.

Braggi valem
$$2d \cdot \sin \theta = n\lambda$$





33



Kuidas kristallid moodustuvad?

- Iooniline side + ja - ionide vahel.
- Vajalik **elektroni ümberpaigutumine.**
- Vajalik suur elektronegatiivsuste erinevus

Näide: NaCl

Kation Anioon

Na⁺ Cl⁻

35

Kovalentne side

- Vajalikud **ühised elektronid**
- Näide: CH₄

C: 4 valents e, vajab veel 4

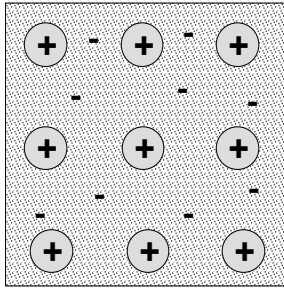
H: 1 valents e, vajab veel 1

Elektronegatiivsused on võrreldavad

36

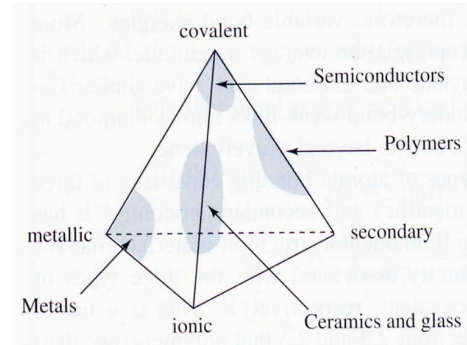
Metalliline side

- Põhiline side metallides ja nende sulamites
- Pooljuhtides ei esine



37

Keemilised sidemed - kokkuvõte



38

Pooljuhtide sidemed

Enamus pooljuhte omavad ioonilise ja kovalentse sideme segu:

		Fractional ionic character
IV-IV	Si	0.00
	SiC	0.18
	Ge	0.00

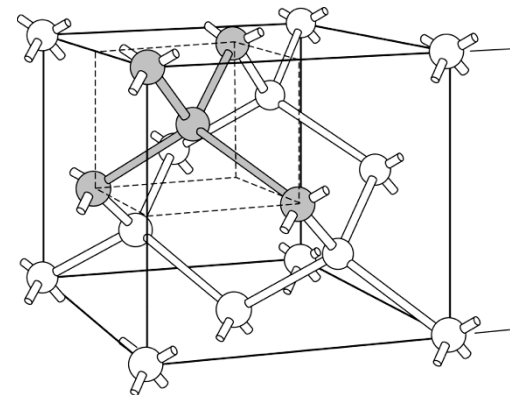
III-V	InP	0.42
	InAs	0.36
	InSb	0.32
	GaAs	0.31
	GaSb	0.26

		Fractional ionic character
II-VI	ZnO	0.62
	ZnS	0.62
	ZnSe	0.63
	ZnTe	0.61
	CdO	0.79
	CdS	0.69
	CdSe	0.70
	CdTe	0.67

39

Pooljuhtide kristallstruktuur

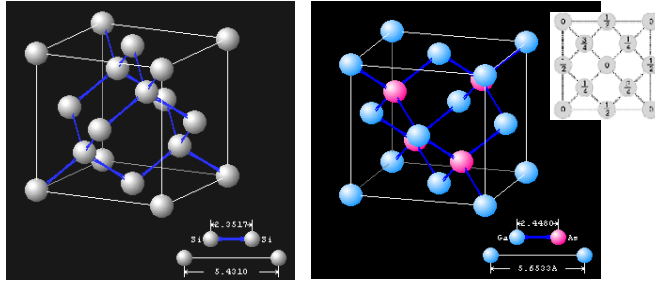
□ Teemandi võre (Si, Ge)



40

Pooljuhtide kristallstruktuur

□ Teemandi ja Zinblendele võred



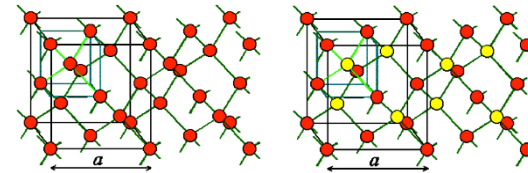
Teemandi võre
Si, Ge

Zinblendele võre
GaAs, InP, ZnSe

41

Pooljuhtide kristallstruktuur

□ Teemandi ja Zinblendele võred:



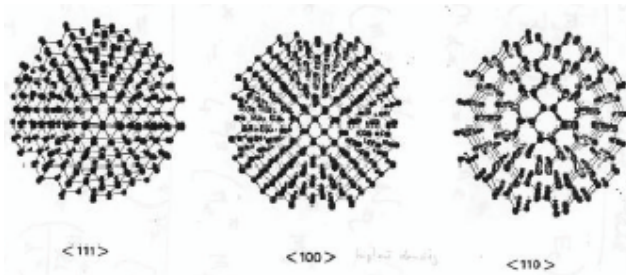
Teemandi võre
Si, Ge

Zinblendele võre
GaAs, InP, ZnSe

42

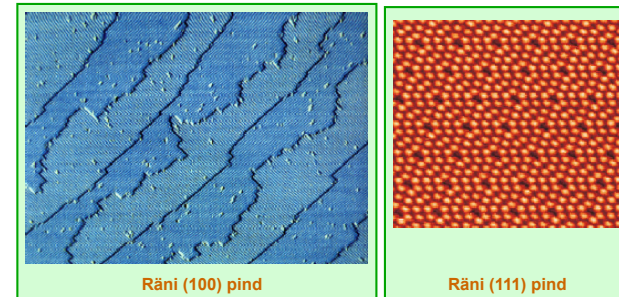
Pooljuhtide kristallstruktuur

□ Teemandi võre vaadatuna erinevatest suundadest:



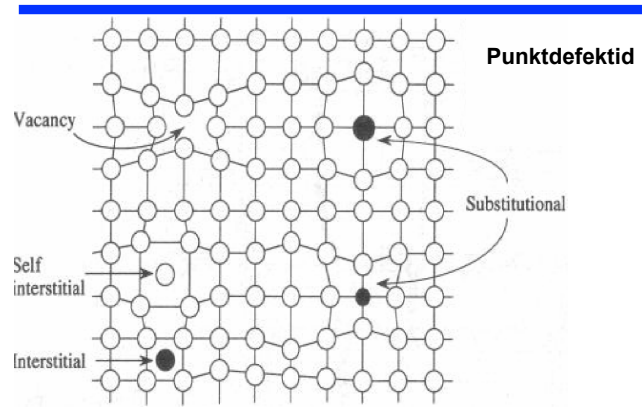
43

Reaalne kristalli pind vaadatuna läbi STM-i.



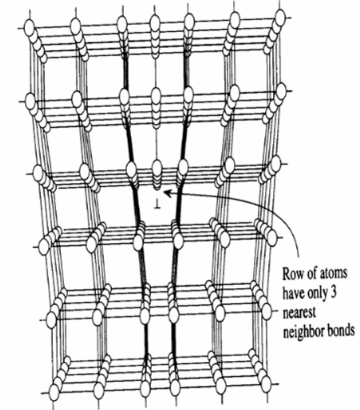
44

Defektid kristallides



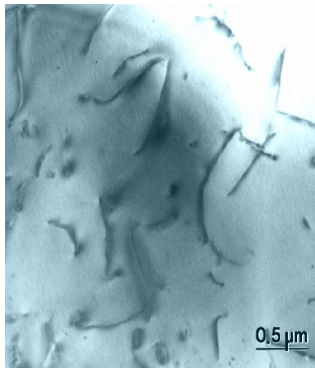
45

Defektid kristallides



46

Defektid kristallides



Dislokatsioonid vaadatuna SEM-iga

47

Vegardi reegel

Mitmikühendite tahkete lahuste võreparameetrid alluvad tihtheale Vegardi reeglile:

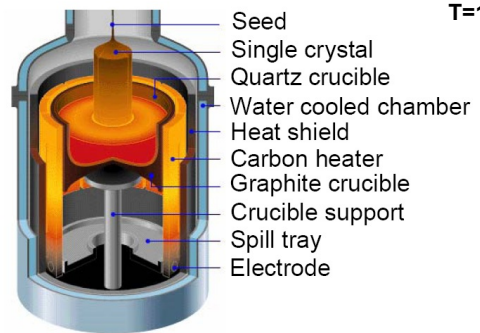
Ternary alloy (ex: $\text{In}_x\text{Ga}_{1-x}\text{As}$)

$$a_{A_xB_{(1-x)}C} = xa_{AC} + (1-x)a_{BC}$$

48

Kristallide kasvatamine

Czochralski meetod (Si monokristallide kasvatamine)



49